

# Моделирование и исследование процесса затвердевания заготовок при дискретно-непрерывном литье металлов

Е. Е. Фомина<sup>1,а</sup>, Н. К. Жиганов<sup>1</sup>

<sup>1</sup> Тверской государственный технический университет,  
170026, г. Тверь, наб. Аф. Никитина, д. 22

E-mail: <sup>а</sup> fominaee@mail.ru

*Получено 27 февраля 2008 г.,  
после доработки 18 июня 2008 г.*

Статья посвящена проблеме математического моделирования процесса дискретно-непрерывного литья цветных металлов. Разработана программа для моделирования процесса непрерывного вертикального литья цилиндрических заготовок. Исследовано влияние основных технологических параметров на процесс охлаждения непрерывнолитой медной заготовки.

Ключевые слова: литье металлов, дискретно-непрерывное литье, цветные металлы

# Введение

При производстве отливок возникает проблема невозможности принятия эффективного решения из-за недостатка информации об особенностях физических процессов, протекающих внутри слитка: гидродинамических, теплопереноса, фазовых переходов и т. д. Они оказывают определяющее значение на его формирование, являются основой при проектировании и управлении процессом непрерывного литья, позволяют минимизировать брак, получать продукцию высокого качества и снизить ее себестоимость.

Экспериментальное изучение этих процессов является трудоемким, дорогостоящим, а зачастую и невозможным. Поэтому актуальной проблемой сегодня является математическое моделирование и разработка специализированных литейных пакетов, позволяющих с заданной точностью отразить данные физические процессы и с достаточной наглядностью визуализировать процесс непрерывного литья.

Для моделирования и визуализации процесса дискретно-непрерывного вертикального литья цилиндрических заготовок из цветных металлов и их сплавов, принципиальная схема которого приведена на рис. 1, был разработан программно-аналитический комплекс (свидетельство № 2007614353).

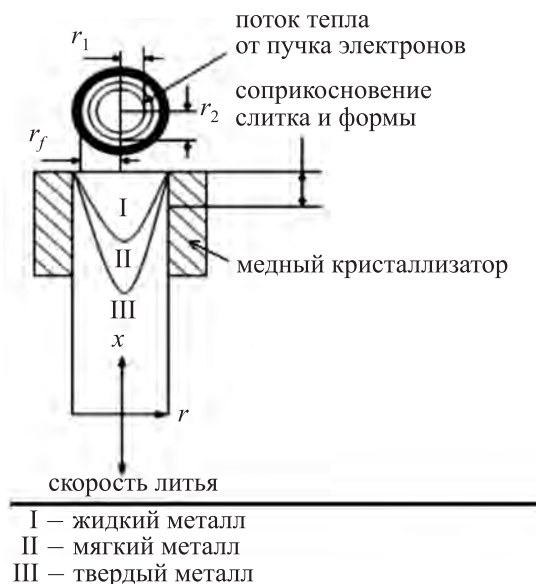


Рис. 1. Схема литья

## Математическая модель

В основу программы положена математическая модель, включающая уравнение неразрывности (1), количества движения (2), (3), энергии (4), необходимые начальные и граничные условия (5)–(16). Для моделирования турбулентности использовалась RNG  $k-\varepsilon$  модель (17)–(20). Все уравнения системы записаны в цилиндрических координатах [1, 3]. Граничное условие по теплопередаче на границе отливка-кристаллизатор учитывает образование зазора вследствие развития объемной усадки сплава и изменение вследствие этого механизма переноса тепла.

Уравнение неразрывности:

$$\frac{\partial r\rho}{\partial t} + \frac{\partial}{\partial x}(r\rho(u + u_{\text{лим}})) + \frac{\partial}{\partial r}(r\rho v) = 0, \quad (1)$$

где  $u_{\text{лим}}$  — постоянная скорость литья (м/с),  $\rho$  — плотность металла (кг/м<sup>3</sup>),  $u$  — скорость вдоль оси  $Ox$  (м/с),  $v$  — скорость вдоль оси  $Or$  (м/с),  $r$  — расстояние от оси  $Or$  до текущей точки слитка (м),  $x$  — расстояние от оси  $Ox$  до текущей точки слитка (м),  $t$  — время (с).

вдоль оси  $Ox$ :

$$\rho \frac{\partial u}{\partial t} + \frac{1}{r} \left[ \frac{\partial}{\partial x} (r \rho (u + u_{\text{лун}}) u) + \frac{\partial}{\partial r} (r \rho u v) \right] = - \frac{\partial p}{\partial x} + \frac{1}{r} \left[ \frac{\partial}{\partial x} (r \mu \frac{\partial u}{\partial x}) + \frac{\partial}{\partial r} (r \mu \frac{\partial u}{\partial r}) \right] + A u + \rho g, \quad (2)$$

вдоль оси  $Or$ :

$$\rho \frac{\partial v}{\partial t} + \frac{1}{r} \left[ \frac{\partial}{\partial x} (r \rho (u + u_{\text{лун}}) v) + \frac{\partial}{\partial r} (r \rho v^2) \right] = - \frac{\partial p}{\partial r} + \frac{1}{r} \left[ \frac{\partial}{\partial x} (r \mu \frac{\partial v}{\partial x}) + \frac{\partial}{\partial r} (r \mu \frac{\partial v}{\partial r}) \right] - \frac{2 \mu v}{r^2} + A v, \quad (3)$$

где  $\rho$  — давление (кг/м·с<sup>2</sup>),  $\mu$  — эффективная вязкость (кг/м·с),  $A = -C(1 - \lambda)^2 / \lambda^3$ , с параметром  $\lambda$ , который равен 1 в жидкой, 0 в твердой и меняется линейно с температурой в мягкой зоне,  $C$  — коэффициент Дарси, равен  $10^8$  (1/с).

Уравнение энергии:

$$c \rho \frac{\partial T}{\partial t} + \frac{1}{r} \left[ \frac{\partial}{\partial x} (r \rho (u + u_{\text{лун}}) \varphi) + \frac{\partial}{\partial r} (r \rho v \varphi) \right] = \frac{1}{r} \left[ \frac{\partial}{\partial x} (r k \frac{\partial T}{\partial x}) + \frac{\partial}{\partial r} (r k \frac{\partial T}{\partial r}) \right] - \frac{1}{r} \left[ \frac{\partial}{\partial x} (r \rho (u + u_{\text{лун}}) \Delta H) + \frac{\partial}{\partial r} (r \rho v \Delta H) \right], \quad (4)$$

где  $c$  — теплоемкость (Дж/кг·К),  $t$  — время (с),  $\varphi$  — энтальпия (Дж·К/кг·с),  $T$  — температура (К),  $k$  — теплопроводность (Вт/м·К),  $\Delta H = \lambda \Delta H_f$  и  $\Delta H_f$  — общая скрытая теплота (Дж/кг).

Граничные условия по длине слитка задаются в виде следующих дифференциальных уравнений, описывающих тепловой поток на границе:

А) На боковых стенках ( $r = R$ )

Если  $T < T_{\text{сол}}$ :

$$-k \frac{\partial T}{\partial r} \Big|_{r=R} = \sigma \varepsilon_{\text{мс}} (T^4 - T_{\text{формы}}^4) \Big|_{r=R}, \quad x \geq (L - L_{\text{формы}}), \quad (5)$$

$$-k \frac{\partial T}{\partial r} \Big|_{r=R} = \sigma \varepsilon_{\text{мс}} (T^4 - T_{\text{окр}}^4) \Big|_{r=R}, \quad x < (L - L_{\text{формы}}), \quad (6)$$

$$u(x; R) = 0, \quad v(x; R) = 0, \quad (7)$$

где  $\sigma$  — константа Стефана–Больцмана ( $5,667 \cdot 10^{-8}$  Вт/м<sup>2</sup>·К<sup>4</sup>),  $\varepsilon_{\text{мс}}$  — излучение на твердой поверхности,  $T_{\text{формы}}$  и  $T_{\text{окр}}$  — температуры поверхности литейной формы и окружающей среды,  $L$  и  $L_{\text{формы}}$  — длины поверхности слитка и литейной формы.

Если  $T \geq T_{\text{сол}}$ :

$$-k \frac{\partial T}{\partial r} \Big|_{r=R} = \alpha_c (T - T_{\text{формы}}) \Big|_{r=R}, \quad (8)$$

$$u(x; R) = -u_{\text{лун}}, \quad v(x; R) = 0, \quad (9)$$

где  $\alpha_c$  — коэффициент теплообмена при соприкосновении формы и слитка (Вт/м<sup>2</sup>·К).

Б) Нижняя граница формы ( $x=0$ )

$$\left. \frac{\partial T}{\partial x} \right|_{x=0} = 0, \quad (10)$$

$$u(0; r) = 0, \quad v(0; r) = 0. \quad (11)$$

В) Верхняя граница формы ( $x=L$ )

Если  $r_1 \leq r \leq r_2$ ,

$$k \left. \frac{\partial T}{\partial x} \right|_{x=L} = q_{\text{пучка}} - \sigma \varepsilon_{\text{жидк}} (T^4 - T_{\text{окр}}^4) \Big|_{x=L}, \quad (12)$$

где  $q_{\text{пучка}}$  — поток тепла от пучка электронов ( $\text{Вт}/\text{м}^2$ ),  $\varepsilon_{\text{жидк}}$  — излучение жидкости.

Если  $r < r_1$  или  $r_2 < r < r_f$ , где  $r_f$  — внутренний радиус кольца для литья:

$$-k \left. \frac{\partial T}{\partial x} \right|_{x=L} = \sigma \varepsilon_{\text{жидк}} (T^4 - T_{\text{окр}}^4) \Big|_{x=L}. \quad (13)$$

Если  $r_f < r < R$ ,

$$T(L; r_f < r < R) = T_{\text{расплава}}, \quad (14)$$

$$\mu \left. \frac{\partial v}{\partial x} \right|_{x=L} = \frac{\partial \gamma}{\partial T} \frac{\partial T}{\partial r}, \quad 0 \leq r \leq R, \quad (15)$$

$$u(L, r) = 0. \quad (16)$$

*RNG k-ε модель описывается следующими уравнениями:*

Уравнение турбулентной вязкости

$$\mu_{\text{турбулентная}} = C_\mu \rho \frac{k^2}{\varepsilon}. \quad (17)$$

Уравнение турбулентной кинетической энергии  $k$  ( $\text{м}^2/\text{с}^2$ )

$$\rho k \nabla \cdot v = \nabla \cdot \left( \frac{\mu_{\text{турбулентная}}}{\sigma_k} \nabla k \right) + \mu_{\text{турбулентная}} \Phi - \rho \varepsilon. \quad (18)$$

Уравнение скорости диссипации  $\varepsilon$  ( $\text{м}^2/\text{с}^3$ )

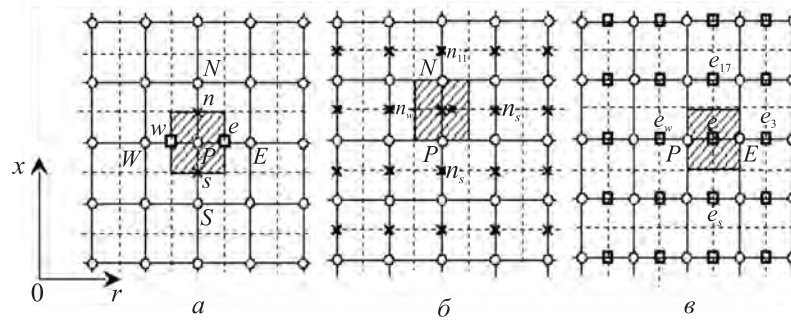
$$\rho \varepsilon \nabla \cdot v = \nabla \cdot \left( \frac{\mu_{\text{турбулентная}}}{\sigma_\varepsilon} \nabla \varepsilon \right) + C_{1\varepsilon} \mu_{\text{турбулентная}} \frac{\varepsilon}{k} \Phi - C_{2\varepsilon} \rho \frac{\varepsilon^2}{k}, \quad (19)$$

где  $C_{1\varepsilon} = 1,44$ ,  $C_2 = 1,92$ ,  $C_\mu = 0,09$ ,  $\sigma_k = 1$ ,  $\sigma_\varepsilon = 1,3$ ,  $\Phi$  — тензор вязкости, определяемый по формуле

$$\Phi = 2 \left( 1 + \frac{1}{r^2} \right) \left( \frac{\partial u}{\partial x} + \frac{\partial v}{\partial r} \right)^2. \quad (20)$$

Система дифференциальных уравнений дискретизировалась методом конечных объемов [2]. Расчетная область разбивалась на конечное число непересекающихся объемов так, что в каждом объеме содержится только один узел сетки.

Все дискретные аналоги были построены с использованием равномерной, фиксированной (вычислительные границы ячейки не изменяются при расчете фазового изменения), шахматной сетки, компоненты скорости на которой рассчитываются на гранях контрольных объемов, а значения давления и температуры — в узловых точках (рис. 2).



**Рис. 2.** Шахматная сетка: *a* — конечный объем для температуры и давления, *б* — конечный объем для скорости *u*, *в* — конечный объем для скорости *v*

Дискретные аналоги получены путем интегрирования соответствующих уравнений (1)–(20) по конечному объему. Интегралы вычислялись с использованием кусочных профилей, описывающих изменение функций между узловыми точками.

Для коррекции полей давления и скоростей применялся метод нижней релаксации [3].

В основу алгоритма для расчета поля течения положен алгоритм SIMPLER.

Адекватность результатов, полученных с помощью разработанного комплекса, устанавливалась путем сопоставления с результатами, полученными в коммерческом *CFD* пакете *FLOW-3D*<sup>®</sup>, программный код которого многократно тестировался на адекватность экспериментальным данным различных технологических процессов литья, включая непрерывное литье. Сопоставление результатов показало расхождение не более 1,2 % [4].